

## ПРИКЛАДНАЯ ТЕОРИЯ ГРАФОВ

УДК 519.87

ПАРАМЕТРИЧЕСКОЕ ЗАДАНИЕ СЕРИИ СЕМЕЙСТВ  
АНАЛИТИЧЕСКИ ОПИСЫВАЕМЫХ ЦИРКУЛЯНТНЫХ СЕТЕЙ  
СТЕПЕНИ ШЕСТЬ<sup>1</sup>

Э. А. Монахова

*Институт вычислительной математики и математической геофизики СО РАН,  
г. Новосибирск, Россия*

Получена серия семейств неориентированных кольцевых циркулянтных сетей степени шесть любого заданного диаметра  $d > 1$ , которая включает в том числе циркулянтные сети максимального порядка для всех диаметров  $d \equiv 0 \pmod{3}$  и  $d \equiv 2 \pmod{3}$ . Серия семейств задаётся определяющими соотношениями между порядком графа и его образующими и порождающим параметром  $p$ ,  $1 \leq p < d$ , при этом образующие и порядки графов являются полиномами третьей степени относительно диаметра графа. Приведены примеры построения новых семейств циркулянтных сетей степени шесть на основе задания функций  $p = p(d)$ .

**Ключевые слова:** неориентированные циркулянтные сети степени шесть, циркулянтные графы заданного диаметра, семейства циркулянтных графов.

DOI 10.17223/20710410/49/8

A SET OF FAMILIES OF ANALYTICALLY DESCRIBED TRIPLE LOOP  
NETWORKS DEFINED BY A PARAMETER

E. A. Monakhova

*Institute of Computational Mathematics and Mathematical Geophysics SB RAS, Novosibirsk,  
Russia*

**E-mail:** emilia@rav.sccc.ru

A set of families of undirected triple loop networks of the form  $C(N(d, p); 1, s_2(d, p), s_3(d, p))$  with the given diameter  $d > 1$  and a parameter  $p = 1, 2, \dots, d-1$  is obtained. For each such family, the order  $N$  of every graph in the family and its generators  $s_2$  and  $s_3$  are defined by a cubical polynomial function of the diameter. The found set includes circulant graphs of degree 6 with the largest known orders for any diameters  $d \equiv 0 \pmod{3}$  and  $d \equiv 2 \pmod{3}$ . Examples of constructing new families of triple loop networks based on the definition of functions  $p = p(d)$  are presented.

**Keywords:** undirected triple loop networks, circulant graphs of degree 6 with given diameter, families of circulant graphs.

<sup>1</sup>Исследование выполнено в рамках бюджетного проекта ИВМиМГ СО РАН №0315-2019-0006.

## Введение

Циркулянтные сети (графы) (см. обзоры [1–5]) широко изучаются в качестве популярной топологии для мультипроцессорных систем и компьютерных сетей и в ряде других приложений. Актуальным становится их применение в качестве топологии для сетей на кристалле (networks-on-chip) [6–8]. Это обусловлено их лучшими структурными характеристиками и высокими показателями масштабируемости при большом количестве узлов по сравнению со стандартными топологиями сетей на кристалле. Важной задачей для сетей на кристалле с циркулянтной топологией является разработка эффективных алгоритмов маршрутизации, связанных с особенностями требований, предъявляемых к используемым ресурсам сетей на кристалле.

Дадим определение циркулянтных сетей. Пусть  $n, N \in \mathbb{N}$ ,  $S = \{s_1, s_2, \dots, s_n\}$  — множество целых чисел,  $1 \leq s_1 < \dots < s_n \leq \lfloor N/2 \rfloor$ . Неориентированный циркулянтный граф  $C(N; s_1, \dots, s_n)$  имеет множество вершин  $V = \mathbb{Z}_N = \{0, 1, \dots, N-1\}$  и множество рёбер  $A = \{(v, v \pm s_i \bmod N) : v \in V, i = 1, \dots, n\}$ . Числа  $s_1, s_2, \dots, s_n$  называются образующими графа,  $N$  — его порядком,  $n$  — размерностью, степень вершин графа равна  $2n$ . Будем исследовать кольцевые циркулянтные сети вида  $C(N; 1, s_2, \dots, s_n)$  с  $s_1 = 1$ , изучаемые в литературе как самостоятельный класс графов. Диаметр графа (оценивает максимальную структурную задержку в сети) равен  $d(C(N; S)) = \max_{u, v \in V} d(u, v)$ , где  $d(u, v)$  — длина кратчайшего пути между вершинами  $u$  и  $v$ .

В литературе известны следующие аналитически описываемые семейства кольцевых циркулянтных сетей степени шесть и диаметра  $d$ : графы вида  $C(3d^2 + 3d + 1; 1, 3d + 1, 3d + 2)$  [9]; циркулянтные сети с  $N = 8d^3/27 + 4d^2/3 + 2d + 1$  [10]; циркулянты с  $N = 32\lfloor d/3 \rfloor^3 + 8\lfloor d/3 \rfloor^2 + 2\lfloor d/3 \rfloor$  [11] и диаметром, меньшим или равным  $d$ , где  $d \geq 3$ . Получены алгоритмы поиска кратчайших путей [12, 13] для семейства из [9] и эквивалентных графов вида  $C(3d^2 + 3d + 1; d, d + 1, 2d + 1)$  [14]. В [15] найдено семейство трёхмерных циркулянтов с порядком  $N = 4d^2 - 2d - 2$ , где  $d \equiv 3, 5 \pmod{6}$  — диаметр графов, как решение оптимизационной задачи на максимум при рассмотрении произведения Кронекера двух циркулянтов степеней два и три. В [15] дан алгоритм поиска кратчайших путей для графов найденного семейства. Следует отметить, что образующие графа  $C(3d^2 + 3d + 1; 1, 3d + 1, 3d + 2)$ , где  $d \geq 1$ , получены в [9] как решение оптимизационной задачи на максимум при укладке (tessellation) трёхмерного графа на плоскости, когда рассматриваются графы диаметра  $d$  вида  $C(N_{\max} = 3d^2 + 3d + 1; s_1, s_2, s_1 + s_2)$ . Заметим, что в большинстве этих работ порядки графов рассматриваемых семейств — это квадратичные функции от диаметра, хотя больший интерес представляет получение семейств с кубической функцией от диаметра, как более плотных и компактных графов. В [16] найдено семейство циркулянтных сетей степени шесть с максимальным порядком среди всех кольцевых циркулянтов заданного диаметра  $d$  и приведён аналитический алгоритм поиска кратчайших путей для найденного семейства. В работе [8] для кольцевых циркулянтных сетей степени шесть общего вида предложены различные алгоритмы поиска кратчайших путей и даны оценки требуемых ресурсов при реализации в сетях на кристалле.

В настоящей работе представлено параметрически задаваемое аналитическое описание кольцевых циркулянтных графов степени шесть, которое порождает серию семейств циркулянтных сетей, включающую в том числе семейство графов с максимально возможным порядком для любого заданного диаметра, а также позволяет синтезировать новые семейства с лучшими структурными характеристиками, чем известные в литературе. Интересным приложением полученного результата является возмож-

ность решения проблемы поиска кратчайших путей в семействах циркулянтных сетей степени шесть с помощью аналитического метода, общего для всех графов семейства.

### 1. Теорема о построении серии циркулянтных графов степени шесть

Рассмотрим множество трёхмерных циркулянтных графов вида  $C(N; 1, s_2, s_3)$ , где  $1 < s_2 < s_3 \leq \lfloor N/2 \rfloor$ . Будем использовать обозначение  $D(x)$ ,  $0 \leq x < N$ , для длины кратчайшего пути из вершины 0 в вершину  $x$ . В графе  $C(N; 1, s_2, s_3)$  выделим две ближайшие по циклу, образованному образующей  $s_1$ , вершины  $u, v$ ,  $u < v$ , такие, что значения  $D(u)$  и  $D(v)$  получены без использования образующих  $\pm s_1$ . Тогда расстояния из вершины 0 до всех вершин, лежащих между  $u$  и  $v$ , могут быть вычислены с использованием того факта, что разница между смежными вершинами равна единице.

**Лемма 1.** Пусть в циркулянтном графе  $C(N; 1, s_2, s_3)$  вершины  $u, v$ ,  $u < v$ , — ближайшие по циклу, заданному образующей  $s_1 = 1$ , значения которых  $D(u)$  и  $D(v)$  получены без использования образующих  $\pm 1$ . Тогда

$$\max_{u \leq x \leq v} D(x) = \lfloor (D(u) + D(v) + v - u)/2 \rfloor \quad (1)$$

и достигается в вершине  $x = \lfloor (v + u + D(v) - D(u))/2 \rfloor$ .

Следующая теорема даёт возможность построения целой серии семейств рассматриваемых графов заданного диаметра, что достигается введением в аналитическое описание графов параметра  $p$ , зависящего от диаметра. Эта теорема задаёт один из возможных типов определяющих соотношений между порядком графа и его образующими, когда и порядок графа  $N$ , и образующие  $s_2$  и  $s_3$  являются полиномами третьей степени относительно диаметра.

**Теорема 1.** Для каждого целого  $d > 1$  пусть

$$p = 1, 2, \dots, d - 1. \quad (2)$$

Тогда диаметр циркулянтных графов вида  $C(N; 1, s_2, s_3)$ , где

$$\begin{cases} N = 8p^3 - (16d + 8)p^2 + (8d^2 + 8d)p + 2d + 1, \\ s_2 = 4p(d - p)^2 + 2p(d - p) + d - 3p, \\ s_3 = s_2 + 4p, \end{cases} \quad (3)$$

равен  $d$ .

**Доказательство.** Рассмотрим циркулянтный граф  $C(N; 1, s_2, s_3)$  вида (3). Пусть

$$\begin{aligned} \Delta &= s_3 - s_2 = 4p, \\ r &= (d - p)\Delta + \Delta/2 + 1. \end{aligned} \quad (4)$$

Согласно (3), порядок графа равен произведению двух нечётных чисел  $N = (2(d - p) + 1)r$  и его образующие имеют вид  $s_2 = (d - p)r - \Delta/2$ ,  $s_3 = (d - p)r + \Delta/2$ .

Поскольку число вершин графа состоит из целого числа интервалов длины  $r$ , будем называть их  $r_i$ -интервалами на графе, где  $0 \leq i \leq 2(d - p) - 1$  — номер интервала, или кратко  $r_i = [ir, ir + r]$ . Симметрия функции расстояний  $D(x)$  в циркулянтах относительно  $N/2$  позволяет в дальнейшем ограничиться значениями  $i = 0, 1, \dots, d - p$ . Будем также использовать термин  $\Delta$ -интервалы для обозначения перемещений (прыжков) по  $r_i$ -интервалу на длину  $\Delta$  из вершин левого или правого концов  $r_i$ -интервала. В силу (4)

перемещение на величину  $\Delta$  даёт приращение функции расстояния  $D(x)$  на 2. Так как  $r = N - (s_2 + s_3)$ , перемещения в графе на величину  $r$  также дают приращение функции расстояния  $D(x)$  на 2.

Выделим в рассматриваемом графе две вершины  $F$  и  $R = N - F$ ,  $F < N/2 < R$ , играющие ключевую роль в определении функции расстояний:

$$F = (s_2 + s_3)/2 = (d - p)r.$$

Имеем  $R = F + r$ ,  $D(F \pm \Delta/2) = D(R \pm \Delta/2) = 1$ . Тогда, выбирая минимальный из двух возможных путей в вершину  $F$  (или  $R$ ) из 0, получим

$$D(F) = D(R) = \begin{cases} 2p + 1 & \text{при } 1 \leq p < \lceil d/2 \rceil, \\ 2(d - p) & \text{при } \lceil d/2 \rceil \leq p \leq d - 1. \end{cases} \quad (5)$$

Для определения диаметра рассматриваемого графа учитываем следующее. Каждый из интервалов вида

$$[js_2 \bmod N, js_3 \bmod N], \quad 1 \leq j \leq d,$$

состоит из  $j$   $\Delta$ -интервалов, на концах которых вершины  $x$  имеют расстояния до нуля  $D(x) = j$ . В силу леммы 1 в серединах этих  $\Delta$ -интервалов находятся вершины с максимумами (равными) расстояний до 0. Аналогичные рассуждения применимы для интервалов вида

$$[N - js_3 \bmod N, N - js_2 \bmod N], \quad 1 \leq j \leq d.$$

Согласно (3) и учитывая, что  $N = 2F + r$ , для  $N$  выполняется условие

$$jF \equiv -2iF \pmod{N}$$

для нечётных  $j$ , где

$$2i + j = 2(d - p) + 1. \quad (6)$$

Рассмотрим  $r_i$ -интервал, где  $i \in \{0, \dots, d - p\}$ . Имеем

$$\begin{aligned} -2is_2 \bmod N &= i(r + \Delta), & -(2i + 2)s_3 \bmod N &= (i + 1)(r - \Delta), \\ js_3 \bmod N &= ir + j\Delta/2, & (j - 2)s_2 \bmod N &= (i + 1)r - (j - 2)\Delta/2. \end{aligned}$$

Таким образом,

$$D(i(r + \Delta)) = 2i, \quad D((i + 1)(r - \Delta)) = 2i + 2; \quad (7)$$

$$D(ir + j\Delta/2) = j, \quad D((i + 1)r - (j - 2)\Delta/2) = j - 2. \quad (8)$$

Итак, надо доказать, что для графов вида (3) максимальное расстояние до вершины 0 из любой вершины  $x$ ,  $0 \leq x \leq \lfloor N/2 \rfloor$ , равно  $d$ . Для удобства представления будем рассматривать интервал  $0 \leq x \leq R$ . Всё множество вершин  $\{0, \dots, R\}$  разобьём на шесть подмножеств  $V_m$ ,  $0 \leq m \leq 5$ ,  $\sum_{m=0}^5 |V_m| = (d - p + 1)r$ , соответственно типам содержащихся в них  $r_i$ -интервалов (табл. 1 и 2). Тип  $r_i$ -интервала определяется значениями функции  $D(x)$  на его концах (например, для множеств  $V_0$ ,  $V_1$  и  $V_2$  имеем  $D(ir) = 2i$ ,

Таблица 1

Распределение вершин  $0 \leq x \leq R$  графов вида (3) по типам  $r_i$ -интервалов при наличии обратной волны из  $F$

Параметр $p$ : $1 \leq p < \lfloor d/2 \rfloor$			
Множество	Тип $r_i$ -интервала	Значения $i$	Мощность множеств
$V_0$	$2i, 2i + 2$	$0 \leq i < \lfloor d/2 \rfloor - p$	$ V_0  = (\lfloor d/2 \rfloor - p)r$
$V_1$	$2i, j - 2, 2i + 2$	$i = \lfloor d/2 \rfloor - p$	$ V_1  = r$
$V_2$	$2i, j, j - 2, 2i + 2$	$\lfloor d/2 \rfloor - p < i < \lfloor d/2 \rfloor$	$ V_2  = (p - 1)r$
$V_3$	$2i, j, j - 2, 2d - 1 - 2i$	$i = \lfloor d/2 \rfloor$	$ V_3  = r$
$V_4$	$2d + 1 - 2i, j, j - 2, 2d - 1 - 2i$	$\lfloor d/2 \rfloor < i < d - p$	$ V_4  = (\lfloor d/2 \rfloor - p - 1)r$
$V_5$	$2p + 1, j, j, 2p + 1$	$i = d - p$	$ V_5  = r$

Таблица 2

Распределение вершин  $0 \leq x \leq R$  графов вида (3) по типам  $r_i$ -интервалов при отсутствии обратной волны из  $F$

Параметр $p$ : $\lfloor d/2 \rfloor \leq p \leq d - 1$			
Множество	Тип $r_i$ -интервала	Значения $i$	Мощность множеств
$V_1$	$2i, j - 2, 2i + 2$	$i = 0, p = d/2$	$ V_1  = \begin{cases} r, & p = d/2, \\ 0, & p \neq d/2 \end{cases}$
$V_2$	$2i, j, j - 2, 2i + 2$	$\begin{cases} 0 < i < d - p, & p = d/2, \\ 0 \leq i < d - p, & p \neq d/2 \end{cases}$	$ V_2  = \begin{cases} (p - 1)r, & p = d/2, \\ (d - p)r, & p \neq d/2 \end{cases}$
$V_5$	$2(d - p), j, j, 2(d - p)$	$i = d - p$	$ V_5  = r$

$D(ir + r) = 2i + 2$ ), а также тем, учитываются или нет значения  $j$  и  $j - 2$  в определении функции расстояния  $D(x)$  вершин внутри интервала (учитываются значения, не превышающие  $d$ ). Для наглядности доказательства теоремы все основные параметры, относящиеся к множествам  $V_m$ ,  $0 \leq m \leq 5$ , суммированы в табл. 1 и 2.

В табл. 1 представлены результаты, когда есть прямая волна расстояний, порождённая  $r$ -интервалами из 0, и есть обратная волна расстояний, порождённая  $r$ -интервалами из вершины  $F$  (см. первое соотношение (5)). В табл. 1 выделяются особые случаи:  $V_0 = \emptyset$  при  $p = \lfloor d/2 \rfloor$ ,  $V_2 = \emptyset$  при  $p = 1$ ,  $V_4 = \emptyset$  при  $p = \lfloor d/2 \rfloor - 1$ .

В табл. 2 представлены результаты, когда есть прямая волна расстояний, порождённая  $r$ -интервалами из 0, и нет обратной волны расстояний, порождённой  $r$ -интервалами из вершины  $F$  (см. второе соотношение (5)). В этом случае в графе отсутствуют множества вершин типа  $V_0$ ,  $V_3$  и  $V_4$ , а также  $V_1 = \emptyset$  при  $p \geq (d + 1)/2$ .

В процессе доказательства далее будем разделять вершины, принадлежащие всем  $r_i$ -интервалам из множеств  $V_m$ ,  $0 \leq m \leq 5$ , на три множества (интервала вершин):  $r_i = A_1 \cup A_2 \cup A_3$ , где  $\sum_{k=1}^3 |A_k| = r$ . Обозначив через  $x_l$  ( $x_r$ ) номера вершин в  $A_2$ , соответствующие левому (правому) концам интервала  $A_2$ , получим

$$A_1 = [ir, x_l], A_2 = [x_l, x_r], A_3 = [x_r, ir + r].$$

1) Пусть  $x \in V_0$ , где  $1 \leq p < \lfloor d/2 \rfloor$ ,  $p \neq \lfloor d/2 \rfloor$  (табл. 1).

Множество вершин  $V_0$  состоит из  $r_i$ -интервалов,  $0 \leq i < q = \lfloor d/2 \rfloor - p$ , где  $D(ir) = 2i$ ,  $D(ir + r) = 2i + 2$  и значения  $j, j - 2$  не учитываются при расчёте  $D(x)$  для вершин  $x \in r_i$ . Для  $V_0$  определим  $x_l = ir + q\Delta$ ,  $x_r = (i + 1)r - q\Delta$ ,  $|A_1| = |A_3| = q\Delta$ .

Для  $A_1$  имеем  $D(x) = 2i$  на концах  $i$   $\Delta$ -интервалов, затем на концах оставшихся  $(q - i)$   $\Delta$ -интервалов значения  $D(x)$  увеличиваются на 2, достигая значения  $D(x_l) = 2q$ .

Таким образом, для  $A_1$  функция  $D(x)$  достигает максимума, когда  $i = q - 1$ . В силу (1) получаем  $\max_{x \in A_1} D(x) = 2\lfloor d/2 \rfloor - 1 < d$ .

Для  $A_2$  имеем  $D(x_l) = D(x_r) = 2(\lfloor d/2 \rfloor - p)$ . Из вершин  $x_l$  и  $x_r$  навстречу друг другу идут волны  $\Delta$ -интервалов, увеличивающих на 2 значения  $D(x)$ , которые заканчиваются, когда  $D(x)$  достигает значений  $2\lfloor d/2 \rfloor$ . В силу (1) получим для всех  $i$   $\max_{x \in A_2} D(x) = d$ .

Учитывая для  $r_i$ -интервала, что, начиная с вершины  $x = ir + r$ ,  $D(x) = 2i + 2$  на концах  $(i + 1)$   $\Delta$ -интервалов, получаем, по аналогии с  $A_1$ ,  $\max_{x \in A_3} D(x) = 2\lfloor d/2 \rfloor \leq d$ .

2) Пусть  $x \in V_1$ , где  $1 \leq p < \lfloor d/2 \rfloor$  и  $p = d/2$ .

Множество вершин  $V_1$  состоит из одного  $r_i$ -интервала, где  $i = \lfloor d/2 \rfloor - p$  (см. табл. 1 и 2). Для него  $D(ir) = 2i$ ,  $D(ir + r) = 2i + 2$ , и при расчёте  $D(x)$  для вершин  $x \in r_i$  учитываем только  $j - 2 \leq d$ . Определим  $x_l = ir + i\Delta$ ,  $x_r = (i + 1)(r - \Delta)$ ,  $|A_1| = i\Delta$ ,  $|A_3| = (i + 1)\Delta$ .

Для  $A_1$  имеем  $D(x) = 2i$  на концах всех  $i$   $\Delta$ -интервалов. Таким образом, применяя (1), получим  $\max_{x \in A_1} D(x) = \lfloor (2i + 2i + \Delta)/2 \rfloor = 2\lfloor d/2 \rfloor \leq d$ . Отметим, что  $A_1 = \emptyset$  при  $p = d/2$ .

Для  $A_2$ , согласно (7), имеем  $D(x_l) = 2i$  и  $D(x_r) = 2i + 2$ . Из вершин  $x_l$  и  $x_r$  навстречу идут волны  $\Delta$ -интервалов, увеличивающих на 2 значения  $D(x)$ . Волны заканчиваются, когда  $D(x)$  достигает при нечётных  $d$  значения  $(d - 1)$  или при чётных  $d$  — значения  $(d - 2)$  при движении из  $x_l$  или значения  $d$  при движении из  $x_r$ . Применяя (1), получим:  $\max_{x \in A_2} D(x) = \lfloor (2i + d + \Delta/2 + 1)/2 \rfloor = d$  при чётных  $d$ ;  $\max_{x \in A_2} D(x) = \max\{\lfloor (2i + 2i + 2 + \Delta)/2 \rfloor, \lfloor (2i + 2 + d - 1 + \Delta/2 + 1)/2 \rfloor\} = d$  при нечётных  $d$ . Отметим, что и в случае  $p = 1$  при чётных  $d$ , когда  $|A_2| = 3$ ,  $\max_{x \in A_2} D(x) = d$ .

Для  $A_3$  имеем  $D(x) = 2i + 2$  на концах всех  $(i + 1)$   $\Delta$ -интервалов,  $D(x) = j - 2 = 2\lfloor d/2 \rfloor - 1$  в их серединах. Таким образом, применяя (1) и (6), получаем  $\max_{x \in A_3} D(x) = \lfloor (2i + 2 + j - 2 + \Delta/2)/2 \rfloor = \lfloor (2(d - p) + 1 + 2p)/2 \rfloor = d$ .

3) Пусть  $x \in V_2$ , где  $1 \leq p \leq d - 1$ .

Множество  $V_2$  состоит из  $r_i$ -интервалов, где  $D(ir) = 2i$ ,  $D(ir + r) = 2i + 2$ , и при расчёте  $D(x)$  для вершин  $x \in r_i$  учитываем значения  $j$  и  $j - 2$ . Значения  $i$  представлены в табл. 1 и 2. Определение  $x_l$  и  $x_r$  на  $r_i$ -интервале зависит от значений  $i$ :

- а) при  $2i < d - p - 1$ :  $x_l = i(r + \Delta) + \Delta/2$ ,  $x_r = (i + 1)(r - \Delta) - \Delta/2$ ,  $|A_2| = (d - p - 2 - 2i)\Delta + \Delta/2 + 1$ ;
- б) при  $2i = 2\lfloor d/2 \rfloor - p$ :  $x_l = i(r + \Delta) + \Delta/2$ ,  $x_r = (i + 1)r - \lfloor j/2 \rfloor \Delta$ ,  $|A_2| = 1$ ;
- в) при  $2i > d - p$ :  $x_l = ir + \lfloor j/2 \rfloor \Delta$ ,  $x_r = (i + 1)r - \lfloor j/2 \rfloor \Delta$ ,  $|A_2| = (d - p - j)\Delta + \Delta/2 + 1$ .

Для  $A_1$  имеем  $D(x) = 2i$  на концах  $i$   $\Delta$ -интервалов и  $D(x) = j$  в их серединах во всех случаях а-в. Для  $A_3$  аналогично имеем  $D(x) = 2i + 2$  на концах  $(i + 1)$   $\Delta$ -интервалов,  $D(x) = j - 2$  в их серединах. Таким образом, применяя (1) и (6), получаем  $\max_{x \in A_1} D(x) = \max_{x \in A_3} D(x) = \lfloor (2i + j + \Delta/2)/2 \rfloor = d$ .

Для  $A_2$ , согласно (7), имеем  $D(x_l - \Delta/2) = 2i$  и  $D(x_r + \Delta/2) = 2i + 2$  в случае а; согласно (8),  $D(x_l - \Delta/2) = j$  и  $D(x_r + \Delta/2) = j - 2$  в случае в. Из вершин  $(x_l - \Delta/2)$  и  $(x_r + \Delta/2)$  на множестве  $A_2$  навстречу друг другу идут волны  $\Delta$ -интервалов, увеличивающих на 2 значения  $D(x)$ . Учитывая значения  $|A_2|$  и применяя (1), получим:  $\max_{x \in A_2} D(x) = \lfloor (2(2i + 2) + 2(d - p - 2i - 2) + \Delta/2 + 1)/2 \rfloor = d$  в случае а;  $\max_{x \in A_2} D(x) = \lfloor (2j + 2(d - p - j) + \Delta/2 + 1)/2 \rfloor = d$  — в случае в.

4) Пусть  $x \in V_3$ , где  $1 \leq p < \lfloor d/2 \rfloor$ .

Множество  $V_3$  состоит из  $r_i$ -интервала, для которого  $i = \lfloor d/2 \rfloor$ ,  $D(ir) = 2i$ , значение  $D(ir+r) = 2\lfloor d/2 \rfloor - 1$  формируется обратной волной длины  $r$  из вершины  $F$ . Поскольку  $j = 2(\lfloor d/2 \rfloor - p) + 1 \leq d$ , при расчёте  $D(x)$  для вершин  $x \in r_i$  учитываем  $j$  и  $j - 2$ . Определим  $x_l = ir + j\Delta/2$ ,  $x_r = (i+1)r - j\Delta/2$ ,  $|A_1| = |A_3| = j\Delta/2$ .

Для  $A_1$  имеем  $D(x) = 2i$  на концах  $i$   $\Delta$ -интервалов и  $D(x) = j$  в их серединах. Таким образом, применяя (1) и (6) и учитывая значение  $|A_1|$ , получим  $\max_{x \in A_1} D(x) = \lfloor (2i + j + \Delta/2)/2 \rfloor = d$ .

Так как в случае  $p = 1$  при нечётных  $d$  значение  $|A_2| = -1$ , то для него  $A_2$  не рассматривается. При  $p > 1$  для  $A_2$  имеем  $D(x_l) = D(x_r) = j$ . Из вершин  $x_l$  и  $x_r$  навстречу идут волны  $\Delta$ -интервалов, увеличивающих на 2 значения  $D(x)$ , которые заканчиваются, когда  $D(x)$  достигает значений  $2\lfloor d/2 \rfloor - 1$ . Из (1) следует  $\max_{x \in A_2} D(x) = \lfloor (2j + 2(d-p-j) + \Delta/2 + 1)/2 \rfloor = d$ .

Для  $A_3$  имеем  $D(x_r) = j$ ,  $D(ir+r) = 2\lfloor d/2 \rfloor - 1$  и  $D(x) = j - 2$  для остальных концов  $\Delta$ -интервалов. Применяя (1), получим  $\max_{x \in A_3} D(x) = \max\{2\lfloor d/2 \rfloor - 1, \lfloor (2(j-2) + \Delta)/2 \rfloor\} = d$ .

5) Пусть  $x \in V_4$ , где  $1 \leq p < \lfloor d/2 \rfloor$ .

Множество  $V_4$  состоит из  $r_i$ -интервалов,  $\lfloor d/2 \rfloor < i < d - p$ , для которых  $D(ir) = (2d + 1 - 2i)$ ,  $D(ir+r) = (2d - 1 - 2i)$  — нечётные значения, образованные обратной волной длины  $r$  из вершины  $F$ . При расчёте  $D(x)$  для вершин  $x \in r_i$  учитываем  $j$  и  $j - 2$ . Положив  $x_l = ir + j\Delta/2$ ,  $x_r = (i+1)r - j\Delta/2$ , получим  $|A_1| = |A_3| = j\Delta/2$ .

Для  $A_1$  имеем  $D(x) = j$  на концах всех  $\Delta$ -интервалов,  $D(ir) = 2d + 1 - 2i$ . Таким образом, в силу (1) получим  $\max_{x \in A_1} D(x) = \max\{\lfloor (2j + \Delta)/2 \rfloor, \lfloor (2d + 1 - 2i + j + \Delta/2)/2 \rfloor\} = \max_{\lfloor d/2 \rfloor < i < d-p} \{2d + 1 - 2i\} \leq d$ .

Для  $A_2$  имеем  $D(x_l) = D(x_r) = j$ . Из вершин  $x_l$  и  $x_r$  навстречу идут волны  $\Delta$ -интервалов, увеличивающих на 2 значения  $D(x)$ . Волны заканчиваются, когда  $D(x)$  достигает значений  $2\lfloor d/2 \rfloor - 1$ . Учитывая  $|A_2|$  и применяя (1), получим  $\max_{x \in A_2} D(x) = \lfloor (2j + 2(d-p-j) + \Delta/2 + 1)/2 \rfloor = d$ .

Для  $A_3$  имеем  $D(x_r) = j$ ,  $D(ir+r) = 2d - 1 - 2i$ . На концах остальных  $\Delta$ -интервалов, входящих в  $A_3$ ,  $D(x) = j - 2$ . Таким образом, сравнивая с множеством  $A_1$  и применяя (1), получим  $\max_{x \in A_3} D(x) < \max_{x \in A_1} D(x) < d$ .

6) Пусть  $x \in V_5$ , где  $1 \leq p \leq d - 1$ .

Множество  $V_5$  состоит из  $r_i$ -интервала, где  $i = d - p$ . При расчёте  $D(x)$  для вершин  $x \in [F, R]$  также учитываем  $j = 1$ . Используя (5), определяем значения  $D(x)$  в вершинах  $F$  и  $R$ . Делим вершины  $r_i$  следующим образом:  $A_1 = [F, F + \Delta/2]$ ,  $A_2 = [F + \Delta/2, R - \Delta/2]$ ,  $A_3 = [R - \Delta/2, R]$ ,  $|A_1| = |A_3| = \Delta/2$ ,  $|A_2| = (d-p-1)\Delta + \Delta/2 + 1$ .

Для  $A_1$  и  $A_3$  различаем два случая:

$$a) D(F) = D(R) = 2p + 1. \text{ Согласно (1), получаем } \max_{x \in A_1} D(x) = \max_{x \in A_3} D(x) = \lfloor (2p + 1 + 1 + \Delta/2)/2 \rfloor = 2p + 1 \leq d;$$

$$b) D(F) = D(R) = 2(d-p). \text{ Согласно (1), получаем } \max_{x \in A_1} D(x) = \max_{x \in A_3} D(x) = \lfloor (2(d-p) + 1 + \Delta/2)/2 \rfloor = d.$$

Случай, когда  $x \in A_2$ , сводится к случаю 5, когда  $x \in A_2$  и  $j = 1$ . ■

Из доказательства теоремы 1 следует наличие общей схемы структуры рассмотренных графов, что, вероятно, даст возможность разработки для них общего вида функции расстояний  $D(x)$ , зависящей от  $d$  и параметра  $p$ .

## 2. Способы построения серии семейств циркулянтных сетей степени шесть

Можно выделить два способа получения серии циркулянтных сетей степени шесть.

**Первый способ.** Пусть параметр  $p$  последовательно пробегает значения на всем диапазоне (2) для каждого целого  $d > 1$ . Тогда получаем бесконечное множество  $\Psi$  кольцевых циркулянтных сетей степени шесть и диаметров  $d = 2, 3, \dots$ :

$$\Psi = \bigcup_{p=1,2,\dots,d-1} \bigcup_{d>1} C(N; 1, s_2, s_3),$$

где  $N$ ,  $s_2$  и  $s_3$  определяются формулами (3). Имеет место следующее свойство порядков графов полученной серии семейств.

**Лемма 2.** Число вершин  $N$  графов вида (3) при всех  $d > 1$  и  $p = 1, 2, \dots, d - 1$  есть произведение двух взаимно простых нечётных чисел.

**Доказательство.** Рассмотрим циркулянтный граф  $C(N; 1, s_2, s_3)$  вида (3). Здесь  $N = qr$ , где  $q = 2d - 2p + 1$ ,  $r = 4pd - 4p^2 + 2p + 1$ . Отсюда следует  $r = 2pq + 1$ , то есть  $q$  и  $r$  — взаимно простые числа при всех  $d > 1$  и  $p = 1, 2, \dots, d - 1$ . ■

В табл. 3 дан пример представления значений порядков  $N$  графов в виде произведений двух взаимно простых чисел для диаметров  $2 \leq d \leq 8$  и  $1 \leq p \leq d - 1$ .

Таблица 3

**Представление порядков  $N$  графов множества  $\Psi$  в виде произведения двух взаимно простых чисел**

$d$	$p$						
	1	2	3	4	5	6	7
2	$N = 3 \times 7$						
3	$N = 5 \times 11$	$3 \times 13$					
4	$N = 7 \times 15$	$5 \times 21$	$3 \times 19$				
5	$N = 9 \times 19$	$7 \times 29$	$5 \times 31$	$3 \times 25$			
6	$N = 11 \times 23$	$9 \times 37$	$7 \times 43$	$5 \times 41$	$3 \times 31$		
7	$N = 13 \times 27$	$11 \times 45$	$9 \times 55$	$7 \times 57$	$5 \times 51$	$3 \times 37$	
8	$N = 15 \times 31$	$13 \times 53$	$11 \times 67$	$9 \times 73$	$7 \times 71$	$5 \times 61$	$3 \times 43$

С помощью системы Wolfram Mathematica 10 был получен фрагмент одного из возможных построений семейств циркулянтных сетей из множества  $\Psi$ . Диаметр графов изменялся от  $d = 2$  до 25, а параметр  $p$  — от  $p = 1$  до  $p = d - 1$ . В табл. 4 приведены описания найденных трёхмерных циркулянтных графов вида  $C(N; 1, s_2, s_3)$ : диаметры графов  $3 \leq d \leq 10$ , соответствующие им значения  $1 \leq p \leq d - 1$ , порядки графов  $N$  и образующие  $s_2$  и  $s_3$ . На рис. 1 показан график зависимости  $N$  от  $p$  и  $d$  для полученного фрагмента циркулянтных графов из множества  $\Psi$ .

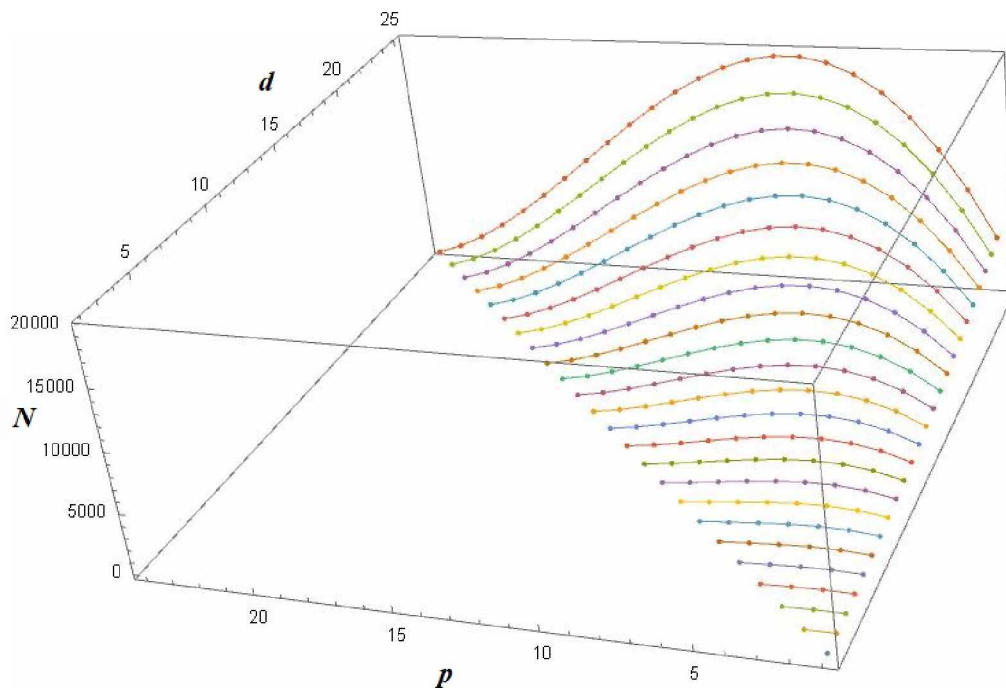
Решим теперь задачу оптимизации для циркулянтных графов из множества  $\Psi$ : на множестве графов  $\Psi$  заданного диаметра  $d > 1$  найти функцию  $p = p(d)$ , которая задаёт максимум функции  $N = N(p)$  при всех  $d > 1$ .



Таблица 4

Параметры описания графов множества  $\Psi$  при  $3 \leq d \leq 10$ 

$d$	$p$	$N$	$s_2$	$s_3$	$d$	$p$	$N$	$s_2$	$s_3$	$d$	$p$	$N$	$s_2$	$s_3$	$d$	$p$	$N$	$s_2$	$s_3$
3	1	55	20	24	6	3	301	123	135	8	3	737	329	341	9	7	355	128	156
3	2	39	9	17	6	4	205	74	90	8	4	657	284	300	9	8	147	33	65
4	1	105	43	47	6	5	93	21	41	8	5	497	203	223	10	1	741	349	353
4	2	105	38	46	7	1	351	160	164	8	6	305	110	134	10	2	1173	548	556
4	3	57	13	25	7	2	495	221	229	8	7	129	29	57	10	3	1365	631	643
5	1	171	74	78	7	3	495	214	226	9	1	595	278	282	10	4	1365	622	638
5	2	203	83	91	7	4	399	163	179	9	2	915	423	431	10	5	1221	545	565
5	3	155	56	68	7	5	255	92	112	9	3	1027	468	480	10	6	981	424	448
5	4	75	17	33	7	6	111	25	49	9	4	979	437	453	10	7	693	283	311
6	1	253	113	117	8	1	465	215	219	9	5	819	354	374	10	8	405	146	178
6	2	333	144	152	8	2	689	314	322	9	6	595	243	267	10	9	165	37	73

Рис. 1. График зависимости порядка  $N$  циркулянтов из  $\Psi$  для  $d = 2, \dots, 25$  и  $p = 1, \dots, d-1$ 

**Теорема 2.** Для любого целого  $d > 1$  максимум  $N = N(p)$ , определяемого формулами (3), достигается при

$$p(d) = p^* = \begin{cases} [d/3], & \text{если } d \equiv 0 \pmod{3} \text{ или } d \equiv 1 \pmod{3}, \\ [d/3], & \text{если } d \equiv 2 \pmod{3} \text{ или } d \equiv 1 \pmod{3}. \end{cases} \quad (9)$$

**Доказательство.** Рассмотрим циркулянтный граф  $C(N; 1, s_2, s_3)$  вида (3). Функция  $N$  — кубический полином относительно  $p$  для любого заданного  $d$ . Надо найти такую целочисленную функцию  $p(d)$ , при которой значение  $N$  равно максимуму для любого  $d > 1$ . Для этого вычислим производную  $N$  по  $p$  и приравняем её нулю:  $\frac{dN}{dp} = 24p^2 - 16(2d+1)p + 8d(d+1) = 0$ . Полученное квадратное уравнение относительно  $p$  имеет коэффициенты  $a = 24$ ,  $b = -(32d+16)$ ,  $c = 8d^2 + 8d$ . Дискриминант  $\delta = b^2 - 4ac = 16^2(d^2 + d + 1) > 0$ . Следовательно,  $N$  имеет один локальный максимум,

когда  $p_1 = (2d + 1 - \sqrt{d^2 + d + 1})/3$  (второе решение  $p_2 = (2d + 1 + \sqrt{d^2 + d + 1})/3 \geq d$  не подходит). Так как  $d < \sqrt{d^2 + d + 1} < d + 1$  и соответственно  $d/3 < p_1 < (d + 1)/3$ , взяв ближайшее целое, получим для любого  $d > 1$  значения  $p(d)$ , равные (9). Подставляя найденные значения  $p$  в (3), получим (10) (см. далее), а также соответствующие значения образующих максимального графа. ■

**Второй способ.** Если в качестве  $p$  взять любую целочисленную функцию от  $d$ , удовлетворяющую условию  $1 \leq p(d) < d$ , то можно синтезировать новые бесконечные семейства циркулянтных сетей. Ниже представлены два примера полученных таким способом семейств циркулянтных сетей степени шесть, принадлежащих  $\Psi$ .

**Пример 1.** Пусть  $p(d) = \lceil d/2 \rceil$ , где  $d > 1$ . Тогда

$$C(N; 1, s_2, s_3) = \begin{cases} C(d^3 + 2d^2 + 2d + 1; 1, (d^3 + d^2 - d)/2, (d^3 + d^2 + 3d)/2) & \text{при чётных } d, \\ C(d^3 + d^2 + d; 1, (d^3 - 3)/2 - d, (d^3 - 3)/2 + d + 2) & \text{при нечётных } d. \end{cases}$$

Новое семейство из примера 1 по соотношению  $N/d$  лучше семейств, найденных в [9, 10, 14, 15].

**Пример 2.** Пусть  $p(d) = p^*$ , где  $p^*$  определяется соотношением (9). Тогда семейство циркулянтных графов  $C(N; 1, s_2, s_3)$  диаметра  $d > 1$  с максимальным  $N$  и образующими, представленными в виде полиномов третьей степени от  $d$ , описывается следующим образом:

$$N(d) = \begin{cases} \frac{32}{27}d^3 + \frac{16}{9}d^2 + 2d + 1, & \text{если } d \equiv 0 \pmod{3}, \\ 32\lfloor d/3 \rfloor^3 + 48\lfloor d/3 \rfloor^2 + 22\lfloor d/3 \rfloor + 3, & \text{если } d \equiv 1 \pmod{3}, \\ 32\lfloor d/3 \rfloor^3 + 80\lfloor d/3 \rfloor^2 + 70\lfloor d/3 \rfloor + 21, & \text{если } d \equiv 2 \pmod{3}, \end{cases} \quad (10)$$

$$(s_2(d), s_3(d)) = \begin{cases} \left( \frac{16}{27}d^3 + \frac{4}{9}d^2, s_2 + \frac{4}{3}d \right), & \text{если } d \equiv 0 \pmod{3}, \\ \left( \frac{16}{27}d^3 + \frac{4}{9}d^2 - \frac{2}{3}d + \frac{17}{27}, s_2 + \frac{4}{3}d - \frac{4}{3} \right) & \text{или} \\ \left( \frac{16}{27}d^3 + \frac{4}{9}d^2 - \frac{4}{3}d - \frac{46}{27}, s_2 + \frac{4}{3}d + \frac{8}{3} \right), & \text{если } d \equiv 1 \pmod{3}, \\ \left( \frac{16}{27}d^3 + \frac{4}{9}d^2 - \frac{2}{9}d - \frac{29}{27}, s_2 + \frac{4}{3}d + \frac{4}{3} \right), & \text{если } d \equiv 2 \pmod{3}. \end{cases}$$

Семейство из примера 2 по соотношению  $N/d$  превосходит семейства, полученные в [9–11, 14,15]. Для всех диаметров  $d \equiv 0 \pmod{3}$  и  $d \equiv 2 \pmod{3}$  максимальный порядок  $N(d)$ , равный (10), совпадает с максимумом  $N$ , найденным в [16], а при  $d \equiv 1 \pmod{3}$  оказывается меньше на величину  $4(2\lfloor d/3 \rfloor + 1)$ . Отметим, что при  $d \equiv 1 \pmod{3}$  существуют два набора образующих третьей степени от  $d$ , которые задают максимум  $N(d)$ , равный (10).

### Заключение

Получена серия параметрически описываемых бесконечных семейств кольцевых циркулянтных сетей степени шесть, включающая графы максимального порядка для заданного диаметра. Это является новым результатом в теории циркулянтных сетей, дающим возможность синтеза ранее неизвестных семейств с меняющимся диаметром, а также при фиксированном диаметре  $d > 1$  построения серии из  $d - 1$  графов. Ранее были известны только отдельные бесконечные семейства циркулянтов. Другая

особенность полученного результата — наличие общей схемы структуры графов получающихся семейств — даёт возможность разработки для них общих аналитических методов поиска кратчайших путей, что подтверждено на примере семейства из [17], являющегося частным случаем параметрически описываемых бесконечных семейств. Получение новых серий семейств сетей, построенных на других типах определяющих соотношений между порядком и образующими графа, и эффективных аналитических алгоритмов парной маршрутизации для них является одним из направлений будущей работы и представляет интерес с практической точки зрения, так как циркулянтные графы степени шесть известны как одна из перспективных топологий для сетей на кристалле.

Автор выражает благодарность О. Г. Монахову за экспериментальные результаты, проведённые с помощью системы Wolfram Mathematica 10.

#### ЛИТЕРАТУРА

1. Монахова Э. А. Структурные и коммуникативные свойства циркулянтных сетей // Прикладная дискретная математика. 2011. № 3. С. 92–115.
2. Monakhova E. A. A survey on undirected circulant graphs // Discrete Math. Algorithms Appl. 2012. No. 4. [https://www.researchgate.net/publication/267143246\\_A\\_survey\\_on\\_undirected\\_circulant\\_graphs](https://www.researchgate.net/publication/267143246_A_survey_on_undirected_circulant_graphs).
3. Perez-Roses H. Algebraic and computer-based methods in the undirected degree/diameter problem — A brief survey // Electr. J. Graph Theory Appl. 2014. No. 2(2). P. 166–190.
4. Bermond J.-C., Comellas F., and Hsu D. F. Distributed loop computer networks: a survey // J. Parallel Distributed Comput. 1995. No. 24. P. 2–10.
5. Hwang F. K. A survey on multi-loop networks // Theor. Comput. Sci. 2003. No. 299. P. 107–121.
6. Romanov A., Amerikanov A., and Lezhnev E. Analysis of approaches for synthesis of networks-on-chip by using circulant topologies // J. Physics: Conf. Ser. 2018. V. 1050. P. 1–12.
7. Romanov A. Yu. Development of routing algorithms in networks-on-chip based on ring circulant topologies // Heliyon. 2019. V. 5. No. 4. P. 1–23.
8. Романов А. Ю., Ведмидь Е. А., Монахова Э. А. Проектирование сетей на кристалле с топологией кольцевой циркулянт с тремя образующими: разработка алгоритмов маршрутизации // Информационные технологии. 2019. № 25(9). С. 522–530.
9. Yebra J. L. A., Fiol M. A., Morillo P., and Alegre I. The diameter of undirected graphs associated to plane tessellations // Ars Combinatoria. 1985. No. 20B. P. 159–172.
10. Wong C. K. and Coppersmith D. A combinatorial problem related to multimodule memory organizations // J. Assoc. Comput. Mach. 1974. No. 21. P. 392–402.
11. Chen S. and Jia X.-D. Undirected loop networks // Networks. 1993. No. 23. P. 257–260.
12. Barriere L., Fabrega J., Simo E., and Zaragoza M. Fault-tolerant routings in chordal ring networks // Networks. 2000. V. 36(3). P. 180–190.
13. Thomson A. and Zhou S. Gossiping and routing in undirected triple-loop networks // Networks. 2010. No. 55(4). P. 341–349.
14. Liestman A. L., Opatrny J., and Zaragoza M. Network properties of double and triple fixed-step graphs // Int. J. Found. Comp. Sci. 1998. V. 9. P. 57–76.
15. Jha P. K. A family of efficient six-regular circulants representable as a Kronecker product // Discr. Appl. Math. 2016. V. 203. P. 72–84.
16. Monakhova E. Optimal triple loop networks with given transmission delay: Topological design and routing // Intern. Network Optimization Conf. (INOC'2003), Evry/Paris, France, 2003. P. 410–415.

17. *Монахова Э. А., Монахов О. Г.* Динамический алгоритм парной маршрутизации для аналитически задаваемых семейств циркулянтных сетей степени шесть // Сб. статей XIX Междунар. науч.-технич. конф. «Проблемы информатики в образовании, управлении, экономике и технике». Пенза: ПДЗ, 2019. С. 30–37.

REFERENCES

1. *Monakhova E. A.* Strukturnye i kommunikativnye svoystva tsirkulyantnykh setey [Structural and communicative properties of circulant networks]. *Prikladnaya Diskretnaya Matematika*, 2011, no. 3, pp. 92–115. (in Russian)
2. *Monakhova E. A.* A survey on undirected circulant graphs. *Discrete Math. Algorithms Appl.*, 2012, no. 4. [https://www.researchgate.net/publication/267143246\\_A\\_survey\\_on\\_undirected\\_circulant\\_graphs](https://www.researchgate.net/publication/267143246_A_survey_on_undirected_circulant_graphs).
3. *Perez-Roses H.* Algebraic and computer-based methods in the undirected degree/diameter problem — A brief survey. *Electr. J. Graph Theory Appl.*, 2014, no. 2(2), pp. 166–190.
4. *Bermond J.-C., Comellas F., and Hsu D. F.* Distributed loop computer networks: A survey. *J. Parallel Distributed Comput.*, 1995, no. 24, pp. 2–10.
5. *Hwang F. K.* A survey on multi-loop networks. *Theor. Comput. Sci.*, 2003, no. 299, pp. 107–121.
6. *Romanov A., Amerikanov A., and Lezhnev E.* Analysis of approaches for synthesis of networks-on-chip by using circulant topologies. *J. Physics: Conf. Ser.*, 2018, vol. 1050, pp. 1–12.
7. *Romanov A. Yu.* Development of routing algorithms in networks-on-chip based on ring circulant topologies. *Heliyon*, 2019, vol. 5, no. 4, pp. 1–23.
8. *Romanov A. Yu., Vedmid E. A., and Monakhova E. A.* Proektirovanie setej na kristalle s topologiej kol'cevoj cirkulyant s tremya obrazuyushchimi: razrabotka algoritmov marshrutizacii [Designing networks-on-chip based on triple loop (circulant) networks: routing algorithm development]. *Informacionnye Tekhnologii*, 2019, no. 25(9), pp. 522–530. (in Russian)
9. *Yebra J. L. A., Fiol M. A., Morillo P., and Alegre I.* The diameter of undirected graphs associated to plane tessellations. *Ars Combinatoria*, 1985, no. 20B, pp. 159–172.
10. *Wong C. K. and Coppersmith D.* A combinatorial problem related to multimodule memory organizations. *J. Assoc. Comput. Mach.*, 1974, no. 21, pp. 392–402.
11. *Chen S. and Jia X.-D.* Undirected loop networks. *Networks*, 1993, no. 23, pp. 257–260.
12. *Barriere L., Fabrega J., Simo E., and Zaragoza M.* Fault-tolerant routings in chordal ring networks. *Networks*, 2000, no. 36(3), pp. 180–190.
13. *Thomson A. and Zhou S.* Gossiping and routing in undirected triple-loop networks. *Networks*, 2010, no. 55(4), pp. 341–349.
14. *Liestman A. L., Opatrny J., and Zaragoza M.* Network properties of double and triple fixed-step graphs. *Int. J. Found. Comp. Sci.*, 1998, vol. 9, pp. 57–76.
15. *Jha P. K.* A family of efficient six-regular circulants representable as a Kronecker product. *Discr. Appl. Math.*, 2016, vol. 203, pp. 72–84.
16. *Monakhova E.* Optimal triple loop networks with given transmission delay: Topological design and routing. *Intern. Network Optimization Conf. (INOC'2003)*, Evry/Paris, France, 2003, pp. 410–415.
17. *Monakhova E. A. and Monakhov O. G.* Dinamicheskij algoritm parnoj marshrutizacii dlya analiticheskij zadavaemyh semejstv cirkulyantnykh setej stepeni shest' [A dynamic algorithm of two-terminal routing for analytically described families of degree six circulant networks]. *Proc. XIX Intern. Conf. "Problemy Informatiki v Obrazovanii, Upravlenii, Ekonomike i Tekhnike"*, Penza, PDZ Publ., 2019, pp. 30–37. (in Russian)